

При линейном изменении фазы вдоль поверхности управляющего элемента угол поворота θ отраженной волны относительно направления зеркального отражения определяется очевидным соотношением

$$\theta = \frac{\Delta\varphi}{kl},$$

где $\Delta\varphi$ — полный набег фазы вдоль поверхности, l — характерный размер управляющего элемента, k — волновое число электромагнитной волны. Для $\lambda=0,4$ мм, $l=3$ мм и при $\Delta\varphi=2,2$ рад (что соответствует рис. 3, б) величина θ составляет порядка 3° . Такая величина угла сканирования на одном элементе является приемлемой для решения ряда практических задач точной локации.

ЛИТЕРАТУРА

- [1] Сисакян И. Н., Шварцбург А. Б. // УФН. 1988. 153, № 1. С. 153.
[2] Антонюк А. Д., Дьяченко А. Г., Екжанов Р. И. и др. // ДАН СССР. 1989. 307, № 1. С. 92. [3] Андрушин Е. А., Екжанов Р. И., Сисакян И. Н. и др. // Квант. электроника. 1990. 17, № 2. С. 247. [4] Sysakyan I. N., Tikhonravov A. V., Shvartsburg A. B., Shepelev A. V. // *Electro-Optic Materials* / Ed. H. Damman. SPIE. 1990. Vol. 1274. P. 115. [5] Уханов Ю. И. Оптические свойства полупроводников. М., 1977. [6] Sodha M. S. // *Phys. Rev.* 1957. 105. P. 1203. [7] Кард П. Г. Анализ и синтез многослойных интерференционных фильтров. Таллинн, 1971. [8] Тихонравов А. В. // Компьютерная оптика. М.: МЦНТИ. 1990. Вып. 7. С. 33.

Поступила в редакцию
27.06.91

ВЕСТН. МОСК. УН-ТА. СЕР. 3, ФИЗИКА. АСТРОНОМИЯ. 1992. Т. 33, № 1

АСТРОНОМИЯ

УДК 524.7

ГРАВИТАЦИОННЫЕ ВОЛНЫ И БАРИОСИНТЕЗ

М. В. Сажин, Я. А. Чечина

(ГАИШ)

Анализируются проявления стадий доминирования пыли, которые могут быть в ранней Вселенной. Одна из возможных причин таких стадий — бариосинтез при температурах $T=10^{15}$ ГэВ. Вычислены искажения в спектре гравитационного волнового фона, вызванные стадией бариосинтеза.

Введение

Инфляционные модели [1—3] сейчас являются общепринятыми для описания начальных стадий эволюции Вселенной [4]. Они хорошо объясняют проблемы классической космологии Фридмана и дают возможность получать обильную информацию о ранних стадиях. В частности, простые предсказания об амплитуде начальных возмущений и сравнение амплитуды с наблюдениями позволяют находить нетривиальные ограничения на космологические параметры и параметры некоторых теорий элементарных частиц [5—7].

Однако нельзя сказать, что решены все проблемы. Одна из важнейших нерешенных проблем в космологии ранних стадий — образование барионного избытка. Этому посвящены многочисленные статьи

[8—11]. Не решен даже принципиальный вопрос: при какой температуре происходил бариосинтез? Он мог происходить при температуре 10^{15} ГэВ [11], и тогда основной механизм генерации барионизбытка — реакции, подобные химическим [8—10], или при температуре 10^4 ГэВ [10], и тогда основной механизм генерации барионизбытка — топологические переходы в вакууме.

Для решения этой задачи могут быть использованы среди прочих методы гравитационно-волновой астрономии. Дело в том, что в процессе генерации барионизбытка излучаются гравитационные волны. Механизм образования волн при низкотемпературном ($T=10^4$ ГэВ) бариосинтезе выяснен в [12]. Определению характеристик спектра гравитационных волн, излучаемых во время высокотемпературного бариосинтеза, точнее, в модельной ситуации, близкой к упомянутой выше, посвящена настоящая работа.

§ 1. Описание модели Вселенной

Наиболее естественной метрикой для описания нашей Вселенной внутри наблюдаемой части горизонта событий является метрика однородного и изотропного мира Фридмана [13]:

$$ds^2 = dt^2 - a^2(t) dl^2.$$

Здесь принято, что фоновая плотность равна критической. Это предположение приводит к значительному упрощению выкладок без потери общности.

Мы будем рассматривать гравитационные волны на фоне этой метрики.

Эволюция метрики описывается уравнениями Эйнштейна:

$$\begin{aligned} \frac{1}{a^2} \left(\frac{da}{dt} \right)^2 &= \frac{8\pi G}{3} \varepsilon, \\ \frac{d\varepsilon}{dt} &= -3(\varepsilon + p) \frac{1}{a} \frac{da}{dt}, \end{aligned} \quad (1)$$

где ε — плотность энергии, p — давление, и вместе с уравнением состояния $p=p(\varepsilon)$ они образуют полную систему.

В зависимости от уравнения состояния эволюция $\varepsilon(t)$ и $a(t)$ протекает по-разному. Будем рассматривать модельное решение, в котором последовательно реализуются несколько физических режимов. Вначале во Вселенной справедливо уравнение состояния $p=-\varepsilon$, которое приводит к инфляционному решению:

$$\begin{aligned} \varepsilon &= \text{const}(t), \quad a(t) = a_0 \exp\{Ht\}, \\ H &= \sqrt{\frac{8\pi G\varepsilon}{3}} = \text{const}(t). \end{aligned} \quad (2)$$

Оно сменяется уравнением состояния типа $p=0$, что характерно для стадий с доминантностью пыли. Такая стадия может возникать в случае высокотемпературного бариосинтеза и образуют ее нерелятивистские бозоны Хиггса. При этом

$$\begin{aligned} \varepsilon &\sim a^{-3}, \\ a(t) &= a_D (t + t_1)^{2/3} \end{aligned} \quad (3)$$

и, наконец, тяжелые частицы, реализующие уравнение $p=0$, распада-

ются на легкие, приводя к радиационно-доминированному уравнению состояния $p = \varepsilon/3$:

$$\varepsilon \sim a^{-4}, \quad (4)$$

$$a(t) = a_R (t + t_2)^{1/2}.$$

Здесь a_D , a_R , t_1 , t_2 — константы, определяемые условиями шивки. Это означает непрерывность изменения масштабного фактора a (входящего в определение потенциальной энергии) и a' — производной от a по времени (входящей в определение кинетической энергии), в момент перехода с одного режима на другой, что формально выражается равенствами вида

$$a(t-0) = a(t+0) \quad \text{и} \quad \frac{d}{dt} (a(t-0)) = \frac{d}{dt} (a(t+0)).$$

Приведем выражения для констант в формулах (2) — (4) в зависимости от H — параметра Хаббла на инфляционной стадии, момента перехода с инфляционной стадии на стадию доминантности пыли t_H и момента t_D смены стадии доминантности пыли радиационно-доминированной стадией:

$$\alpha_D = a_s \exp \{Ht_H\} \left(\frac{2H}{3} \right)^{2/3}, \quad t_1 = \frac{3}{2H} - t_H,$$

$$a_R = \sqrt{\frac{4}{3}} \left(\frac{2H}{3} \right) a_s \exp \{Ht_H\} \left(t_D - t_H + \frac{3}{2H} \right), \quad (5)$$

$$t_2 = \frac{9}{2H} - \frac{3}{4} t_H - \frac{1}{4} t_D.$$

Хотя вычисления во времени t позволяют проследивать физический смысл получаемых результатов, сами вычисления удобно вести в терминах конформного времени η , определяемого уравнением

$$d\eta = \frac{dt}{a(t)}.$$

Приведем выражения, аналогичные (2) — (5), в конформном времени: стадия инфляции ($p = -\varepsilon$):

$$a(\eta) = \frac{1}{H \left(\eta - \frac{1}{2} (3\eta_H - \eta_D) \right)};$$

стадия доминантности пыли ($p = 0$):

$$a(\eta) = \frac{2(\eta + \eta_D)^2}{H(\eta_H + \eta_D)^3}; \quad (6)$$

радиационно-доминированная стадия ($p = \varepsilon/3$):

$$a(\eta) = \frac{8\eta_D^-}{H(\eta_H + \eta_D)} \eta.$$

Различие в длительности пылевой стадии приводит к различным оценкам времен t_H и t_D и соответственно η_H/η_D , причем t_H и t_D , η_H и η_D связаны соотношением

$$\eta_H + \eta_D^- = \frac{2}{Ha_s \exp \{Ht_H\}}, \quad \eta_D^- = \left(\frac{2H}{3} (t_D^- - t_H) + 1 \right)^{1/3} \frac{1}{Ha_s \exp \{Ht_H\}}. \quad (7)$$

Надо отметить, что $\eta_H + \eta_D = 0$ не имеет физического смысла, так как в этом случае будет бесконечная инфляция.

§ 2. Гравитационные волны

Следуя [13], разобьем метрический тензор на две части — фоновый тензор $\gamma_{\alpha\beta}$, описывающий модель Фридмана, и малые поправки $h_{\alpha\beta}$, описывающие гравитационные волны. Уравнения вида

$$\frac{d^2}{d\eta^2} (h_{\alpha}^{\beta}) + \frac{2a'}{a} \frac{dh_{\alpha}^{\beta}}{d\eta} + \Delta h_{\alpha}^{\beta} = 0, \quad a' = \frac{da}{d\eta},$$

описывает эволюцию h и определяет усиление гравитационных волн на фоне расширяющегося мира [14].

Конформное волновое число k связано с волновым вектором \mathbf{h} и измеримой частотой ν согласно стандартным зависимостям:

$$\mathbf{h} = \frac{\mathbf{k}}{a(\eta)}; \quad \nu = \frac{k}{2\pi a(\eta)}.$$

Теперь возмущения метрики $h_{\alpha\beta}(r; \eta)$ легко записать через фурье-компоненты в виде

$$h_{\alpha}^{\beta}(r; \eta) = \int d^3k \exp\{-ikr\} C_{\alpha}^{\beta} h(k; \eta), \quad \text{где } \alpha; \beta = 1, 2, 3.$$

Здесь тензор C_{α}^{β} является набором случайных величин, зависящих только от волнового числа \mathbf{n} и описывающих стохастические поляризационные свойства волн, а $h(k; \eta)$ — детерминированная функция.

Усредненные величины от C_{α}^{β} :

$$\langle C_{\alpha}^{\beta} \rangle = 0,$$

$$\langle C_{\alpha}^{\beta}(\mathbf{k}) \cdot C_{\mu}^{\nu}(\mathbf{k}_1) \rangle = (\tilde{\delta}_{\alpha}^{\nu} \tilde{\delta}_{\mu}^{\beta} + \tilde{\delta}_{\alpha\mu} \tilde{\delta}^{\nu\beta} - \tilde{\delta}_{\alpha}^{\beta} \tilde{\delta}_{\mu}^{\nu}) \delta(\mathbf{k} - \mathbf{k}_1).$$

Здесь $\tilde{\delta}_{\alpha}^{\beta} = \delta_{\alpha}^{\beta} - k_{\alpha} k^{\beta} / k^2$ — поперечно-бесследовый символ Кронекера, функция $h(n; \eta)$ удовлетворяет уравнению

$$\frac{d^2 h}{d\eta^2} + \frac{2a'}{a} \frac{dh}{d\eta} + k^2 h = 0. \quad (8)$$

Решение этого уравнения описывает эволюцию гравитационных волн и выглядит следующим образом.

1. Стадия инфляции:

$$h(k; \eta) = A_1 (k\eta_1)^{3/2} J_{3/2}(k\eta_1) + A_2 (k\eta_1)^{3/2} J_{-3/2}(k\eta_1)^{3/2}, \\ \eta_1 = \eta - \frac{1}{2} (3\eta_H + \eta_D); \quad (9)$$

здесь A_1, A_2 являются амплитудами нулевых флуктуаций:

$$A_1 = \frac{1}{\sqrt{\pi}} \frac{H_s}{m_{pl}} \frac{\cos \varphi}{k^{3/2}}, \\ A_2 = \frac{1}{\sqrt{\pi}} \frac{H_s}{m_{pl}} \frac{\sin \varphi}{k^{3/2}}. \quad (10)$$

2. Стадия доминирования пыли:

$$h(k\eta) = B_1 \frac{J_{3/2}(k\eta_2)}{(k\eta)^{3/2}} + B_2 \frac{J_{-3/2}(k\eta_2)}{(k\eta)^{3/2}}, \quad \eta_2 = \eta + \eta_D; \quad (11)$$

коэффициенты B_1 и B_2 выражаются через A_1 и A_2 так:

$$B_1 = -\frac{i\pi x_2^4}{4\sqrt{2}} \{A_1 [J_{3/2}(x_1) J_{-5/2}(x_2) - J_{1/2}(x_1) J_{-3/2}(x_2)] + \\ + A_2 [J_{-3/2}(x_1) J_{-5/2}(x_2) + J_{-1/2}(x_1) J_{-3/2}(x_2)]\},$$

$$B_2 = -\frac{i\pi x_2^4}{4\sqrt{2}} \{A_1 [J_{3/2}(x_1) J_{5/2}(x_2) + J_{1/2}(x_1) J_{3/2}(x_2)] + \\ + A_2 [J_{-3/2}(x_1) J_{5/2}(x_2) + J_{-1/2}(x_1) J_{3/2}(x_2)]\},$$

где $x_2 = -2x_1 = k(\eta_H + \eta_D)$.

Асимптотические выражения для этих коэффициентов:

$$B_1 = -3A_2 + o(k) \text{ и } B_2 = o(k) \text{ при } k(\eta_H + \eta_D) \ll 1,$$

а в другом пределе, $k(\eta_H + \eta_D) \gg 1$,

$$B_1 = -\frac{x_2^3}{2} \left(A_1 \cos\left(\frac{3x_2}{2}\right) - A_2 \sin\left(\frac{3x_2}{2}\right) \right), \quad (12)$$

$$B_2 = -\frac{x_2^3}{2} \left(A_1 \sin\left(\frac{3x_2}{2}\right) + A_2 \cos\left(\frac{3x_2}{2}\right) \right).$$

Прежде чем перейти к анализу спектра на радиационно-доминированной стадии, посмотрим, как он преобразовался при смене инфляционной стадии на стадию доминантности пыли.

Адиабатически неизменная амплитуда волн определяется согласно выражению

$$\mu(\eta) = a(\eta) h(\eta),$$

а плотность энергии волн

$$\varepsilon_g(k) = \frac{m_{p1}}{8\pi} \left(\frac{1}{a^2}\right) \left[\frac{d}{d\eta} \left(\frac{\mu}{a}\right)\right]^2 \cdot 4\pi k^2. \quad (13)$$

Плотность энергии волн (нулевые колебания) на инфляционной стадии:

$$\varepsilon_g(k) = \frac{k^3}{32\pi^3 a^4},$$

а на стадии доминантности пыли:

$$\varepsilon_g(k) = \frac{m_{p1}^2}{8\pi^2} \frac{k^6}{H^2 x_2^6} \frac{(B_1^2 + B_2^2)}{a^4}. \quad (14)$$

Естественно, что в зависимости от длины волны $\varepsilon_g(k)$ имеет разный вид. При $k(\eta_H + \eta_D) \ll 1$

$$\varepsilon_g(k) = \frac{9}{16\pi^3} \frac{k^3}{x_2^6 a^4}, \quad (15)$$

а при $k(\eta_H + \eta_D) \gg 1$ плотность энергии волн совпадает с плотностью нулевых колебаний. Перенормируя плотность энергии гравитационных волн, получаем зависимость вида $\varepsilon_g(k) \sim 1/k^3$ для $k(\eta_H + \eta_D) \ll 1$ и $\varepsilon_g(k) \approx 0$ для $k(\eta_H + \eta_D) \gg 1$.

Для радиационно-доминированной стадии:

$$h(k; \eta) = C_1 \frac{J_{1/2}(k\eta)}{(k\eta)^{1/2}} + C_2 \frac{J_{-1/2}(k\eta)}{(k\eta)^{1/2}}. \quad (16)$$

Коэффициенты C_1 , C_2 сшиваются с B_1 , B_2 на границе перехода с пылевой стадии на радиационно-доминированную по правилу $h_D(k\eta_D) = h_R(k\eta_D)$ и $h_D'(k\eta_D) = h_R'(k\eta_D)$, где нижние индексы D и R указывают на принадлежность к пылевой и радиационно-доминированной стадии соответственно, $h' = dh/d\eta$. Нет нужды приводить громоздкое выражение для связи C_1 , C_2 и B_1 , B_2 . Следует лишь отметить, что возникают три спектральных интервала:

$$1) k(\eta_H + \eta_D) \ll 1,$$

$$k(\eta_D) \ll 1;$$

$$2) k(\eta_H + \eta_D) \ll 1,$$

$$k(\eta_D) \gg 1;$$

$$3) k(\eta_H + \eta_D) \gg 1,$$

$$k(\eta_D) \gg 1.$$

1. Спектральный интервал длинных волн. Волны, удовлетворяющие неравенствам $k(\eta_H + \eta_D) \ll 1$ и $k(\eta_D) \ll 1$, усиливаются на стадии инфляции и на стадии доминирования пыли.

С точностью до $O(k)$ коэффициенты B_1 и B_2 выражаются так:

$$B_1 = -3A_2, \quad B_2 = -\frac{\pi x_1^5}{10} A_2,$$

для C_1 и C_2 соответственно получаем

$$C_1 = -A_2, \quad C_2 \approx 0. \quad (17)$$

Для спектральной плотности энергии гравитационных волн в этом диапазоне получаем выражение

$$\epsilon_g(k) = \frac{2}{3\pi} \left(\frac{H_D^-}{T_{pl}} \right)^2 \left(\frac{2}{N_R} \right)^{1/3} \frac{\epsilon_\gamma}{k} \quad (18)$$

(H_D^- — параметр Хаббла в конце пылевой стадии).

Формула (18) получена в предположении, что с начала радиационно-доминированной стадии до современного момента энтропия сохранилась, т. е. было справедливо равенство

$$N_R T_R^3 a_R^3 = 2T_0^3 a_0^3.$$

Здесь a_D — современный масштабный фактор, $T_0 = 3$ К, N_R — число безмассовых степеней свободы в начале радиационно-доминированной стадии, по которым распределяется энергия, T_R — фоновая температура в начале радиационно-доминированной стадии, a_R — масштабный фактор.

Это выражение справедливо для волн, частота которых выше 10^{-15} Гц на современный момент, так как волны с более низкой частотой усиливаются на современной пылевой стадии и имеют спектр $\sim \nu^{-3}$.

2. Спектральный интервал промежуточных длин волн. Такие волны являются длинными на инфляционной стадии и

усиливаются на ней. Волна, лежащая внутри спектрального интервала $k(\eta_H + \eta_D) \ll 1$, $k(\eta_D) \gg 1$, усиливается на пылевой стадии, но еще до окончания этой стадии становится короче горизонта и перестает усиливаться. В результате в этом спектральном интервале частот формируется спектр, пропорциональный k^{-3} , как будет показано ниже. Естественно, что связь B и A остается прежней (16), но связь между C и B меняет вид:

$$C_1 = \frac{i}{4x_3} (B_1 \sin x_3 - B_2 \cos x_3),$$

$$C_2 = \frac{i}{4x_3} (B_1 \cos x_3 - B_2 \sin x_3),$$

где $x_3 = k\eta_D$. С точностью до $o(k)$ связь C и A в этом спектральном диапазоне имеет вид

$$C_1 = -\frac{3A_2}{4x_3} \sin x_3 \quad \text{и} \quad C_2 = \frac{3A_2}{4x_3} \cos x_3. \quad (19)$$

Теперь для спектральной плотности энергии на радиационно-доминированной стадии получаем выражение

$$\varepsilon_g(k) = \frac{1}{6\pi} \left[\frac{H_D}{T_{pl}} \right]^2 \left[\frac{2}{N_R} \right]^{1/3} \frac{T_0^4}{\eta^2 k_D^3}.$$

К промежуточным длинам волн можно отнести волны с частотой выше 40 и ниже 400 кГц.

3. Спектральный интервал коротких волн. Такие волны удовлетворяют неравенствам $k(\eta_H + \eta_D) \gg 1$, $k(\eta_D) \gg 1$. Усиления для этих волн не наблюдается, поэтому $\varepsilon_g(k) \approx 0$.

§ 3. Бариоизбыток

В случае высокотемпературного бариосинтеза основной механизм генерации бариоизбытка аналогичен химическим реакциям:

$$\phi\text{-бозон} \rightarrow \mathcal{H} + \bar{\mathcal{H}}\text{-бозон}, \quad \mathcal{H} \rightarrow qq, \bar{q}l, \quad \bar{\mathcal{H}} \rightarrow \bar{q}q, ql,$$

где q — кварк, l — лептон. В таком случае бариоизбыток:

$$\beta = \frac{N_q - N_{\bar{q}}}{N_q + N_{\bar{q}} + N_l + N_{\bar{l}}}.$$

В отличие от стандартного сценария в статье [10] рассматриваются не только распады тяжелых X -, Y -лептокварков в обычные кварки, но и реакции с участием хиггсовских бозонов, X -, Y -лептокварков и ϕ -бозонов поля, дающего инфляцию. Тогда время существования этой стадии

$$H(t_D - t_H) \approx 10^4 \frac{m_\phi^5}{m_H^4 M_{pl}},$$

где m_ϕ — масса хиггсовского бозона, $m_{\mathcal{H}}$ — масса $\mathcal{H}^{\pm 1/3}$ -бозонов. Подстановка принятых в [10] значений приводит к $H(t_D - t_H) \sim 100$, а

величину барионизбытка в конце стадии доминирования пыли можно приближенно описать выражением

$$\beta = \beta_0 \left(\frac{\Gamma_\Phi}{H} \right)^{1/2} \cdot 10 K_{\text{tot}}^{-1/4} \left(\frac{0,2 N_{\Phi_0}}{m_\Phi^3} \right)^{1/4} = B_0 (H (t_D - t_H))^{-1/2},$$

где $N_{\Phi_0} \approx 18 m_\Phi^3$ — начальная плотность хиггсовских бозонов, $m_\Phi \approx 10^{14}$ ГэВ — масса хиггсовского бозона, $K_{\text{tot}} \approx 100$ — полное число сортов частиц в равновесной кварк-лептонной плазме, Γ_Φ — скорость распада частиц или обратное время существования стадии доминирования пыли, β_0 — относительный барионизбыток стандартного сценария.

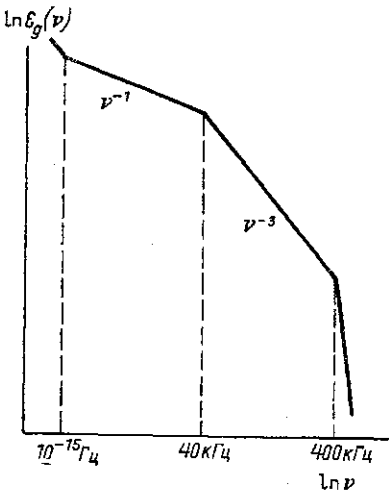
В конформном времени:

$$\beta \approx \beta_0 \left[\left(\frac{\eta_D}{\eta_H + \eta_D} \right)^3 - 1 \right]^{-1/2} \left(\frac{2Ht_H}{3} \right)^{1/2} \cdot 10 K_{\text{tot}} \left[\frac{0,2 N_{\Phi_0}}{m_\Phi^3} \right]^{1/2}.$$

Теперь можно указать основные отличия спектров гравитационных волн при высокотемпературном и низкотемпературном бариосинтезе.

При высокотемпературном бариосинтезе искажается спектр волн, рожденных на инфляции. Этот спектр искажается на высокочастотном конце, причем зависимость спектра от волнового вектора теперь пропорциональна k^{-3} . Другими словами, спектр гравитационных волн остается неизменным (вида k^{-1}) вплоть до частот ~ 40 кГц, затем убывает как k^{-3} вплоть до ~ 400 кГц и для частот выше 400 кГц $\varepsilon(k) \approx 0$.

При низкотемпературном бариосинтезе есть механизм излучения гравитационных волн, приводящий к спектру плотности энергии вида широкой линии (порядка средней частоты в спектре) [6].



Заключение

В заключение нужно отметить, что изменения, вносимые пылевой стадией, следующей сразу за инфляционной стадией, касаются только высокочастотного конца спектра. В нем появляется обрыв на частоте, выражающейся через характеристики стадии бариосинтеза (рисунок), конкретно через барионизбыток. Сейчас есть попытки наблюдения гравитационных волн в низкочастотном конце. Для этих волн наблюдательные предсказания остаются прежними, как и в случае, когда за инфляционной стадией следует радиационно-доминированная стадия.

ЛИТЕРАТУРА

- [1] Guth A. // Phys. Rev. 1981. D23. P. 347. [2] Starobinsky A. // Phys. Lett. 1980. 91B. P. 99. [3] Linde A. // Phys. Lett. 1982. 108B. P. 389. [4] Долгов А. Д., Зельдович Я. Б., Сажин М. В. Космология ранней Вселенной. М., 1988. [5] Старобинский А. А. // Письма в ЖЭТФ. 1980. 7. С. 21. [6] Rubakov A., Sazhin M., Veryaskin A. // Phys. Lett. 1982. 115B. P. 189. [7] Abbott L., Wise M. // Astrophys. J. 1984. 282. P. L47. [8] Сахаров А. Д. // Письма в ЖЭТФ. 1967. 5. С. 17. [9] Кузмин В. А. // Письма в ЖЭТФ. 1970. 12. С. 335. [10] Dolgov A., Linde A. // Phys. Lett. 1982. 116B. P. 329. [11] Матвеев В. А.,

УДК 621.373.826

РАСЧЕТ ОПТИЧЕСКОЙ СХЕМЫ ПАССИВНОГО ЛАЗЕРНОГО ГИРОСКОПА

В. Е. Жаров, С. Н. Маркова, М. В. Сажин, Е. Н. Федосеев

(ГАИШ)

Для лазерного гироскопа, создаваемого в службе времени ГАИШ с целью измерения вариаций вращения Земли, предлагается пассивный квадратный резонатор с плечом $l=3,10$ м, состоящий из двух сферических зеркал одинакового радиуса кривизны ($R_m=10$ м) и двух плоских зеркал, одно из которых является вводным, а другое выводным элементом.

Введение

В отделе службы времени ГАИШ разрабатывается лазерный гироскоп [1] с пассивным резонатором для измерений угловой скорости вращения Земли, а также локальных наклонов земной коры.

Современные астрономические методы позволяют измерять вариации угловой скорости вращения Земли вплоть до $\delta\Omega/\Omega \sim 10^{-8}$ (методы оптической астрономии) и $\delta\Omega/\Omega \sim 10^{-9}$ (методы радиоинтерферометрии и лазерной локации). Несмотря на высокую точность и длительное использование, оба метода обладают одним существенным недостатком: время, необходимое для обработки результатов отдельных измерений, составляет несколько суток. Лазерный гироскоп позволит в принципе сократить этот интервал времени до часов или минут. Такой интервал позволит исследовать высокочастотные (~ 1 ч) составляющие параметров вращения Земли и наклонов земной коры.

Расчет оптического резонатора для лазерного гироскопа заключается в определении параметров собственной моды колебаний в резонаторе. Собственные моды резонатора должны быть устойчивыми, т. е. расходимость лазерного пучка должна компенсироваться фокусировкой сферическими зеркалами, входящими в контур. Другими словами, расчет резонатора сводится к поиску такого светового пучка, который после прохождения через резонатор сохраняет свои характеристики: радиус кривизны волнового фронта, размер и положение перетяжек. Для расчета этих характеристик мы используем метод лучевых матриц, разработанный в [2, 3].

Расчет резонатора

Сложный резонатор, представленный на рис. 1, как и любую оптическую систему, состоящую из отражающих поверхностей, преломляющих линз и промежутков между ними, можно описать с помощью лучевых матриц, соответствующих каждому оптическому элементу. Для